

К расчету продольной восприимчивости суперпарамагнитных частиц

© Ю.П. Калмыков, С.В. Титов*

Centre d'Etudes Fondamentales, Université de Perpignan,
66860 Perpignan Cedex, France

* Институт радиотехники и электроники Российской академии наук,
141190 Фрязино, Московская обл., Россия

E-mail: kalmykov@univ-perp.fr
svt245@ire216.msk.su

(Поступила в Редакцию 10 декабря 2002 г.
В окончательной редакции 7 апреля 2003 г.)

Получены простые аналитические выражения для продольной комплексной восприимчивости $\chi_{\parallel}(\omega)$ систем не взаимодействующих суперпарамагнитных частиц с одноосной и кубической анизотропией для модели непрерывной диффузии в случаях умеренного и сильного затухания.

Работа выполнена при поддержке Российского фонда фундаментальных исследований (проект № 01-02-16050) и INTAS (проект № 01-2341).

Однодоменные ферромагнитные частицы характеризуются внутренним анизотропным потенциалом с несколькими минимумами, разделенными барьерами. Если размеры частиц малы (~ 10 nm), то барьеры относительно низкие. В этом случае вектор намагниченности $\mathbf{M}(t)$ может переориентироваться через барьеры благодаря тепловым флуктуациям. Тепловая нестабильность намагниченности обуславливает явление суперпарамагнетизма [1–3], поскольку каждая частица ведет себя как парамагнитный атом с магнитным моментом $\sim 10^4 - 10^5$ магнетонов Бора. Динамика намагниченности однодоменных ферромагнитных частиц описывается уравнением Ландау и Лифшица [4]. Гильберт в [5] предложил аналогичное уравнение. Браун в [2,6] применил эти уравнения для описания динамики намагниченности индивидуальной частицы, воспользовавшись методом уравнения Ланжевена из теории броуновского движения. В качестве уравнения Ланжевена Браун использовал уравнение Гильберта с флуктуирующим полем [5,6]

$$\dot{\mathbf{M}}(t) = \gamma \left[\mathbf{M}(t) \times [\mathbf{H}(t) + \mathbf{h}(t) - \eta \dot{\mathbf{M}}(t)] \right], \quad (1)$$

где γ — гиромагнитное отношение, η — коэффициент трения; суммарное магнитное поле может состоять из внешних приложенных полей, эффективного поля магнитной анизотропии (все обозначаются \mathbf{H}) и случайного поля $\mathbf{h}(t)$. Из (1) Браун получил уравнением Фоккера–Планка для плотности вероятности распределения $W(\mathbf{M}, t)$ намагниченности \mathbf{M} [2,6]

$$\frac{\partial}{\partial t} W = L_{\text{FP}} W = \frac{1}{2\tau_N} \times \left\{ \beta [\alpha^{-1} \mathbf{u} \cdot (\nabla V \times \nabla W) + \nabla(W \nabla V)] + \Delta W \right\}. \quad (2)$$

Здесь L_{FP} — оператор Фоккера–Планка, Δ и ∇ — операторы Лапласа и градиента на поверхности единичной сферы, V — плотность свободной энергии частицы, \mathbf{u} — единичный вектор вдоль вектора намагниченности \mathbf{M} ,

$\beta = v/kT$, v — объем частицы, k — постоянная Больцмана, T — температура, $\tau_N = \beta M_s (1 + \alpha^2)/(2\gamma\alpha)$ — характеристическое (диффузионное) время, M_s — намагниченность материала частицы, $\alpha = \gamma\eta M_s$ — безразмерный коэффициент затухания, характеризующий интенсивность тепловых флуктуаций. При выводе (1) предполагалось, что намагниченность всегда однородна и изменяется только ее направление (но не величина); кроме того, не учитывались межчастичные взаимодействия и эффекты памяти. Детальное обсуждение области применимости уравнений Гильберта (1) и Фоккера–Планка (2) можно найти, например, в [7,8]. Уравнение (2) может быть формально решено методом разложения функции распределения W в ряд по сферическим гармоникам $Y_{l,m}(\vartheta, \varphi)$ [7,9] (ϑ и φ — полярный и азимутальный углы соответственно). В этом случае задача сводится к решению бесконечной системы рекуррентных уравнений для усредненных сферических гармоник (моментов) [9]. Эквивалентную моментную систему уравнений можно также получить путем усреднения уравнения Гильберта (1) без использования уравнения Фоккера–Планка [10,11].

Кинетика намагниченности однодоменных частиц определяется в основном типом анизотропии свободной энергии V . В данной работе рассматриваются два типа анизотропии. Первый — соответствует одноосным частитцам, находящимся во внешнем постоянном магнитном поле \mathbf{H}_0 (предполагается, что \mathbf{H}_0 направлено вдоль оси симметрии внутреннего потенциала частицы). В этом случае плотность свободной энергии имеет вид [6]

$$\beta V(\vartheta) = -\sigma \cos^2 \vartheta - \xi \cos \vartheta, \quad (3)$$

где $\sigma = vK/(kT)$, $\xi = vM_s H_0/(kT)$, K — константа анизотропии. Второй случай соответствует кубической анизотропии, для которой плотность свободной энергии

имеет вид [6]

$$\beta V(\vartheta, \varphi) = \sigma'(\sin^4 \vartheta \sin^2 2\varphi + \sin^2 2\vartheta), \quad (4)$$

где $\sigma' = vK/(4kT)$ — безразмерный параметр анизотропии, который может принимать как положительные, так и отрицательные значения.

Кинетические характеристики намагниченности одноосных частиц исследовались, например, в [2,6,12–22]. В частности, собственные значения оператора Фоккера–Планка (2) изучались в [2,6,12,19]. Точное выражение для времени релаксации τ продольной намагниченности было выведено в [13,14]. Продольная комплексная восприимчивость и время релаксации τ были рассчитаны в [15] на основе метода непрерывных матричных дробей. В случае кубической анизотропии ранее применялось главным образом приближение дискретных ориентаций и исследовались асимптотические решения уравнения Фоккера–Планка (2) (например, [6,9,23–27]). В недавних работах [28–31] с помощью метода матричных непрерывных дробей рассчитаны время релаксации τ продольной компоненты намагниченности и динамическая магнитная восприимчивость $\chi_{\parallel}(\omega)$ частиц с кубической анизотропией.

В данной работе предложены простые расчетные формулы для продольной комплексной магнитной восприимчивости $\chi_{\parallel}(\omega)$ систем невзаимодействующих одноосных частиц с одноосной и кубической анизотропией в случае умеренного и сильного затухания ($\alpha \geq 1$), когда можно пренебречь влиянием поперечных мод на продольную релаксацию. Показано, что эти формулы хорошо согласуются с численными решениями, полученными на основе матричных непрерывных дробей [15,29,30].

1. Продольная релаксация намагниченности

В соответствии с теорией линейной реакции [32] продольная компонента тензора комплексной магнитной восприимчивости $\chi_{\parallel}(\omega)$ определяется следующим выражением:

$$\chi_{\parallel}(\omega) = \chi'_{\parallel}(\omega) - i\chi''_{\parallel}(\omega) = \chi_{\parallel} \left[1 - i\omega \int_0^{\infty} e^{-i\omega t} C_{\parallel}(t) dt \right], \quad (5)$$

где

$$C_{\parallel}(t) = \frac{\langle \cos \vartheta(0) \cos \vartheta(t) \rangle_0 - \langle \cos \vartheta(0) \rangle_0^2}{\langle \cos^2 \vartheta(0) \rangle_0 - \langle \cos \vartheta(0) \rangle_0^2} \quad (6)$$

— равновесная нормированная автокорреляционная функция продольной компоненты намагниченности \mathbf{M} ,

$$\chi_{\parallel} = \frac{v^2 M_s^2 N_0}{kT} \left[\langle \cos^2 \vartheta(0) \rangle_0 - \langle \cos \vartheta(0) \rangle_0^2 \right] \quad (7)$$

— продольная компонента тензора статической магнитной восприимчивости, N_0 — концентрация частиц.

Угловые скобки $\langle \rangle_0$ обозначают равновесное усреднение по ансамблю.

Согласно (5), для нахождения $\chi_{\parallel}(\omega)$ необходимо определить спектр (одностороннее преобразование Фурье) равновесной автокорреляционной функции $C_{\parallel}(t)$. Таким образом, спектр $\chi_{\parallel}(\omega)$ полностью определяется временной эволюцией функции $C_{\parallel}(t)$. В свою очередь поведение функции $C_{\parallel}(t)$ во временной области определяется кинетикой намагниченности частицы и характеризуется тремя временными постоянными. Изменение $C_{\parallel}(t)$ на больших временах определяется долгоживущими релаксационными модами, которые обуславливают переориентации намагниченности \mathbf{M} между метастабильными состояниями. Этот (низкочастотный) процесс характеризуется наименьшим собственным значением λ_1 оператора Фоккера–Планка L_{FP} из (2). Релаксация $C_{\parallel}(t)$ на малых временах обусловлена высокочастотными „внутриямными“ (intrawell) модами и характеризуется эффективным временем релаксации τ^{eff} , задаваемым как

$$\tau^{\text{eff}} = -1/\dot{C}_{\parallel}(0). \quad (8)$$

Для характеристики эволюции $C_{\parallel}(t)$ в целом служит интегральное время релаксации τ (совпадающее с временем корреляции $C_{\parallel}(t)$), которое определяется как площадь под кривой $C_{\parallel}(t)$

$$\tau = \int_0^{\infty} C_{\parallel}(t) dt. \quad (9)$$

Времена τ^{eff} и τ могут быть также выражены через собственные значения λ_k оператора Фоккера–Планка L_{FP} . Учитывая формальное представление функции $C_{\parallel}(t)$ по релаксационным модам

$$C_{\parallel}(t) = \sum_k c_k e^{-\lambda_k t}, \quad (10)$$

из (8)–(10) получаем

$$\tau^{\text{eff}} = \left(\sum_k \lambda_k c_k \right)^{-1}, \quad \tau = \sum_k c_k / \lambda_k. \quad (11)$$

Здесь $\sum_k c_k = 1$. В общем случае зависимости времен τ , τ^{eff} и $1/\lambda_1$ от параметров задачи (таких как напряженность внешнего поля, константа анизотропии) могут быть весьма различны [15].

Как видно из (11), все собственные значения λ_k вносят вклад в τ^{eff} и τ . Поэтому использовать выражения (11) для расчетов τ^{eff} и τ затруднительно. Расчеты удобнее проводить непосредственно по формулам (8) и (9). Расчетная формула для эффективного времени релаксации τ^{eff} из (8) для анизотропии произвольного типа может быть получена из уравнения Гильберта для средней намагниченности, записанного в полярных координатах,

$$2\tau_N \frac{d}{dt} \cos \vartheta = -2 \cos \vartheta + \beta \sin \vartheta \frac{\partial V}{\partial \vartheta} - \frac{\beta}{\alpha} \frac{\partial V}{\partial \varphi}. \quad (12)$$

Из (12) следует, что

$$\begin{aligned} \left\langle \cos \vartheta \frac{d}{dt} \cos \vartheta \right\rangle_0 &= -\frac{1}{\tau_N} \left\langle \cos^2 \vartheta - \frac{\beta \sin 2\vartheta}{4} \frac{\partial V}{\partial \vartheta} \right. \\ &\left. + \frac{\beta}{2\alpha} \cos \vartheta \frac{\partial V}{\partial \varphi} \right\rangle_0 = -\frac{1}{2\tau_N} (1 - \langle \cos^2 \vartheta \rangle_0). \end{aligned} \quad (13)$$

Таким образом, из (6), (8) и (13) получаем

$$\tau^{\text{eff}} = 2\tau_N \frac{\langle \cos^2 \vartheta \rangle_0 - \langle \cos \vartheta \rangle_0^2}{1 - \langle \cos^2 \vartheta \rangle_0}. \quad (14)$$

Для частного случая одноосных частиц формула (14) была получена в [33]. Интегральное время релаксации τ выражается в квадратурах только для произвольного аксиально-симметричного потенциала V [14,34]

$$\begin{aligned} \tau &= \int_0^\infty C_{\parallel}(t) dt = \frac{2\tau_N}{Z(\langle \cos^2 \vartheta \rangle_0 - \langle \cos \vartheta \rangle_0^2)} \\ &\times \int_{-1}^1 \left[\int_{-1}^z (z' - \langle \cos \vartheta \rangle_0) e^{-\beta V(z')} dz' \right]^2 \frac{e^{\beta V(z)}}{1-z^2} dz. \end{aligned} \quad (15)$$

Здесь

$$\begin{aligned} Z &= \int_{-1}^1 e^{-\beta V(x)} dx, \\ \langle \cos^n \vartheta \rangle_0 &= \frac{1}{Z} \int_{-1}^1 x^n e^{-\beta V(x)} dx, \quad (n = 1, 2). \end{aligned} \quad (16)$$

Для произвольной анизотропии подобная аналитическая формула для τ до сих пор не получена. Тем не менее τ может быть найдено из (9) численно [15,21,29–31].

2. Оценочное выражение для магнитной восприимчивости

Используя свойства преобразования Фурье, можно получить из (5), (8) и (9) следующие выражения для продольной восприимчивости $\chi_{\parallel}(\omega)$ в предельных случаях низких ($\omega \rightarrow 0$) и высоких ($\omega \rightarrow \infty$) частот:

$$\begin{aligned} \frac{\chi_{\parallel}(\omega)}{\chi_{\parallel}} &= 1 - i\omega \int_0^\infty C_{\parallel}(t) dt + O(\omega^2) \\ &= 1 - i\omega\tau + O(\omega^2), \end{aligned} \quad (17)$$

$$\frac{\chi_{\parallel}(\omega)}{\chi_{\parallel}} \sim -\frac{\dot{C}_{\parallel}(0)}{i\omega} + O(\omega^{-2}) = -\frac{i}{\omega\tau^{\text{eff}}} + O(\omega^{-2}). \quad (18)$$

Согласно (17) и (18), низкочастотная и высокочастотная части спектра магнитных потерь $\chi_{\parallel}''(\omega)$ определяются временами τ и τ^{eff} соответственно. Следует заметить,

что асимптотические выражения (17) и (18) носят общий характер и справедливы для произвольной системы невзаимодействующих суперпарамагнитных частиц.

В общем случае корреляционная функция $C_{\parallel}(t)$, согласно (10), представляется в виде бесконечного набора экспоненциально затухающих мод с характеристическими частотами, равными собственным значениям λ_k . В бистабильных и мультистабильных потенциалах (какими являются, например, свободная энергия одноосных и кубических кристаллов) собственные значения λ_k разделяются на два класса. К первому классу относятся собственные значения (иногда это только одно собственное значение λ_1 , как для одноосных частиц [12,19]), которые характеризуют долгоживущие продольные моды, связанные с переориентациями намагниченности через потенциальные барьеры. С уменьшением температуры (увеличением барьеров) такие собственные значения экспоненциально стремятся к нулю, так что $\lambda_1\tau_N \ll 1$. Ко второму классу относятся все остальные собственные значения, которые характеризуют высокочастотные „внутриямные“ моды. С уменьшением температуры характеристические частоты этих мод увеличиваются, при этом основной вклад в восприимчивость вносит несколько мод с близкими частотами [15,19]. Учитывая, что в случае умеренного и сильного затухания для одноосной и кубической анизотропии имеется именно такое поведение собственных значений [15,19,24–26] и что диффузионные процессы внутри потенциальной ямы происходят гораздо быстрее, чем переходы через барьер, для описания эволюции корреляционной функции $C_{\parallel}(t)$ из (10) используем следующее выражение:

$$C_{\parallel}(t) \approx \Delta_1 e^{-\lambda_1 t} + (1 - \Delta_1) e^{-t/\tau_W}. \quad (19)$$

Соответственно спектр $\chi_{\parallel}(\omega)$ может быть представлен в виде суммы двух лоренцианов с характеристическими частотами λ_1 и τ_W^{-1}

$$\frac{\chi_{\parallel}(\omega)}{\chi_{\parallel}} = \frac{\Delta_1}{1 + i\omega/\lambda_1} + \frac{1 - \Delta_1}{1 + i\omega\tau_W}. \quad (20)$$

Здесь параметры Δ_1 и τ_W определяются из сопоставления (19) и (20) в пределах случая низких ($\omega \rightarrow 0$) и высоких ($\omega \rightarrow \infty$) частот с точными асимптотическими соотношениями (17) и (18)

$$\Delta_1 = \frac{\tau/\tau^{\text{eff}} - 1}{\lambda_1\tau - 2 + 1/(\lambda_1\tau^{\text{eff}})}, \quad (21)$$

$$\tau_W = \frac{\lambda_1\tau - 1}{\lambda_1 - 1/\tau^{\text{eff}}}. \quad (22)$$

(Δ_1 и τ_W получаются из решения квадратного уравнения, у которого только один корень имеет физический смысл). Таким образом, сделав независимые оценки τ , τ^{eff} и λ_1 , можно рассчитать Δ_1 и τ_W и на основе (20)–(22) предсказать спектр $\chi_{\parallel}(\omega)$ во всем частотном диапазоне $0 \leq \omega < \infty$.

Следует отметить, что для суперпарамагнитной частицы с произвольной анизотропией вклад высокочастотных „внутриямных“ мод в (20) может быть аппроксимирован одним лоренцианом только при средних и больших значениях параметра затухания, $\alpha \geq 1$, так как только в этом случае можно пренебречь влиянием поперечных мод на продольный отклик. Одноосная частица в наложенном внешнем постоянном поле \mathbf{H}_0 , совпадающем с осью анизотропии, является исключением. Здесь $\chi_{\parallel}''(\omega)$, τ , τ^{eff} и $1/\lambda_1$ не зависят явно от α .

3. Одноосные частицы

Комплексная продольная восприимчивость одноосных частиц с плотностью свободной энергии V из (3) была рассчитана в [15] с использованием точного решения (в терминах матричных непрерывных дробей) бесконечной системы рекуррентных уравнений для продольных корреляционных функций $f_n(t)$

$$\begin{aligned} & \frac{2\tau_N}{n(n+1)} \frac{d}{dt} f_n(t) + \left[1 - \frac{2\sigma}{(2n-1)(2n+3)} \right] f_n(t) \\ &= \frac{\xi}{2n+1} [f_{n-1}(t) - f_{n+1}(t)] + 2\sigma \left[\frac{n-1}{(2n-1)(2n+1)} f_{n-2}(t) \right. \\ & \left. - \frac{n+2}{(2n+1)(2n+3)} f_{n+2}(t) \right], \quad n = 1, 2, \dots, \end{aligned} \quad (23)$$

где

$$f_n(t) = \langle \cos \vartheta(0) P_n[\cos \vartheta(t)] \rangle_0 - \langle \cos \vartheta(0) \rangle_0 \langle P_n[\cos \vartheta(t)] \rangle_0,$$

$P_n(z)$ — полиномы Лежандра. Определив $f_1(t)/f_1(0) \equiv C_{\parallel}(t)$, можно рассчитать из (5) комплексную восприимчивость [15]. Наименьшее собственное значение λ_1 оператора Фоккера–Планка может быть найдено из системы рекуррентных уравнений (23), записанной в матричном виде [15]

$$\dot{\mathbf{X}} = \hat{\mathbf{A}}\mathbf{X}, \quad (24)$$

где $\hat{\mathbf{A}}$ — пятидиагональная матрица, \mathbf{X} — вектор, состоящий из функций $f_n(t)$. Эффективное время релаксации τ^{eff} может быть рассчитано из (14) через

Численные значения τ (15), τ^{eff} (14), $1/\lambda_1$ (23) и τ_W (22)

$\sigma = 10$	$\xi = 0$	$\xi = 2$	$\xi = 5$	$\xi = 10$
τ_N/λ_1	693.9	232.5	26.82	2.265
τ/τ_N	691.0	224.1	3.398	0.0386
τ^{eff}/τ_N	16.64	1.690	0.0565	0.0384
τ_W/τ_N	0.0714	0.0615	0.0495	0.0384
$\xi = 2$	$\sigma = 1$	$\sigma = 5$	$\sigma = 10$	$\sigma = 15$
τ_N/λ_1	0.9763	6.387	232.5	16484
τ/τ_N	0.8912	5.720	224.1	16221
τ^{eff}/τ_N	0.7528	1.097	1.610	2.366
τ_W/τ_N	0.2866	0.1383	0.0615	0.0377

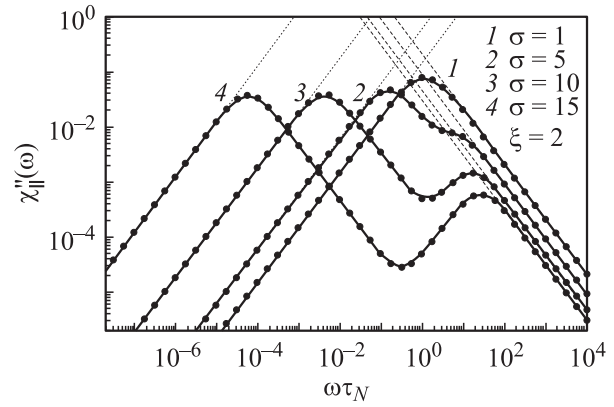


Рис. 1. $\chi_{\parallel}''(\omega)$ для $\xi = 2$ и различных значений σ . Сплошные линии — точное решение методом непрерывных матричных дробей [15], точки — расчет по формуле (20) со значениями τ , τ^{eff} и $1/\lambda_1$ из таблицы, пунктирные и штриховые линии — низкочастотные и высокочастотные асимптоты (уравнения (15), (17) и (14), (18) соответственно).

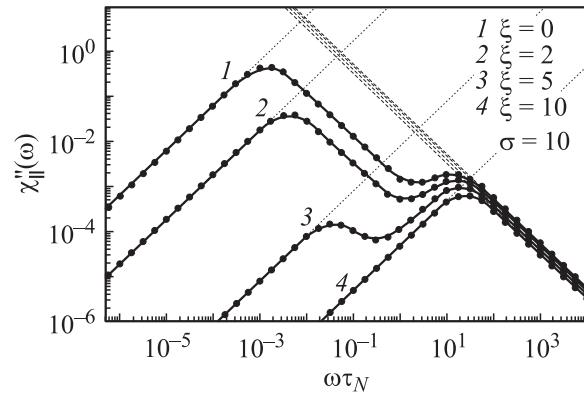


Рис. 2. То же, что на рис. 1, для $\sigma = 10$ и различных значений ξ .

равновесные средние (16) для заданного потенциала (3). Наконец, интегральное время релаксации τ можно рассчитать по аналитической формуле (15).

Сравнение результатов расчетов спектров мнимой части комплексной восприимчивости $\chi''(\omega)$ одноосных частиц, выполненных с помощью матричных непрерывных дробей [15] и по приближенным формулам (20)–(22), при различных значениях параметров ξ и σ и значений $1/\lambda_1$, τ и τ^{eff} из таблицы представлено на рис. 1 и 2 (при расчетах полагалось $v^2 M_s^2 N_0 / kT = 1$). В спектре $\chi''(\omega)$ ярко выражены две полосы. Частота и полуширина низкочастотной полосы определяются λ_1 . Высокочастотная полоса обусловлена высокочастотными „внутриямными“ модами. Несмотря на большое количество таких мод, участвующих в релаксационном процессе, эта полоса хорошо аппроксимируется одной кривой лоренцевского типа. Как видно из рис. 1 и 2, приближенное соотношение (20) хорошо описывает точное решение [15] (максимальное расхождение в резуль-

татах всего лишь порядка 5% наблюдается в диапазоне $0.1 < \omega\tau_N < 10$). Расчеты также показали, что имеется хорошее согласие между точным и приближенным решениями для вещественной части $\chi_{||}(\omega)$. Подобное согласие было получено для значений параметров $0 \leq \sigma$, $\xi < 100$.

4. Кубическая анизотропия

Продольная восприимчивость частиц с кубической анизотропией (4) была рассчитана в [28–30] с помощью матричных непрерывных дробей путем точного решения бесконечной системы рекуррентных уравнений для равновесных корреляционных функций $c_{l,m}(t) = \langle \cos \vartheta(0) Y_{l,m}[\vartheta(t), \varphi(t)] \rangle_0$. В случае $\alpha \gg 1$ эта система может быть записана в виде

$$\tau_N \frac{d}{dt} c_{l,m}(t) = \sum_{s=-1}^1 \sum_{r=-2}^2 d_{l,m,l+2r,m+4s} c_{l+2r,m+4s}(t) \quad (25)$$

(в явном виде $d_{n,m,r,s}$ приведены в [29,30]). Продольная восприимчивость задается (5), где $C_{||}(t) = c_{1,0}(t)/c_{1,0}(0)$, а статическая восприимчивость $\chi_{||} = v^2 M_s^2 N_0 / (3kT)$, так как в силу свойств симметрии

$$\langle \cos^2 \vartheta \rangle_0 = 1/3. \quad (26)$$

Эффективное время релаксации τ^{eff} может быть рассчитано из уравнения (14). Таким образом, с учетом (26) получаем

$$\tau^{\text{eff}} = \tau_N. \quad (27)$$

Зависимость времени релаксации τ от σ' детально исследовалась в [29,30], где, в частности, было показано, что в случаях умеренного и сильного затухания $\tau \approx \lambda_1^{-1}$ при всех температурах, т.е. поведение τ определяется главным образом наиболее низкочастотной релаксационной модой. Точные значения λ_1 и $\tau_{||}$ могут быть рассчитаны из рекуррентного уравнения (25), представленного в матричной форме (24), или с помощью матричных непрерывных дробей [29,30]. В рассматриваемом случае кубической анизотропии значения λ_1^{-1} могут быть также рассчитаны по приближенным формулам [35]

$$\lambda_1^{-1} \approx \tau_N \frac{(e^{\sigma'} - 1)}{\sigma'} \left[\frac{\pi}{8\sqrt{2}} + \left(1 - \frac{\pi}{8\sqrt{2}} \right) 2^{-\sigma'} \right] \quad (28)$$

для $\sigma' \geq 0$ и

$$\lambda_1^{-1} \approx -3\tau_N \frac{(e^{-\sigma'/3} - 1)}{\sigma'} \left[\frac{\pi}{4\sqrt{2}} + \left(1 - \frac{\pi}{4\sqrt{2}} \right) 2^{\sigma'/3} \right] \quad (29)$$

для $\sigma' \leq 0$. Уравнения (28) и (29) служат хорошей аппроксимацией как для λ_1^{-1} , так и для τ во всем диапазоне изменения параметра σ' [35]. Кроме того, амплитуда Δ_1 и время τ_W в (20) могут быть также оценены (для $|\sigma'| > 3$) из простых выражений [35]

$$\Delta_1 \approx 1 - 1/4\sigma', \quad \tau_W \approx \tau_N / (4\sigma') \quad (30)$$

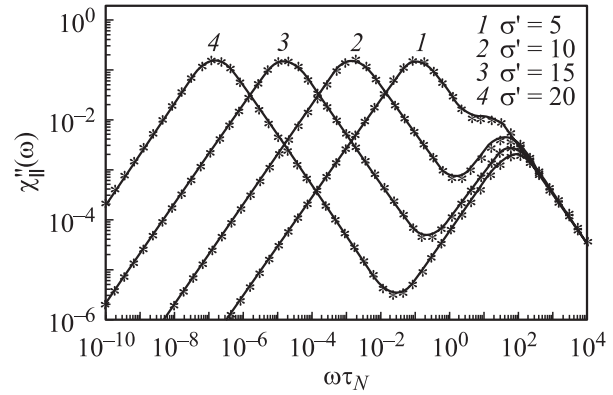


Рис. 3. $\chi''(\omega)$ как функция $\omega\tau_N$ для различных значений σ' ($\sigma' > 0$). Сплошные линии — точное решение методом непрерывных матричных дробей [29,30]; звездочки — расчет по формулам (20), (28) и (30).

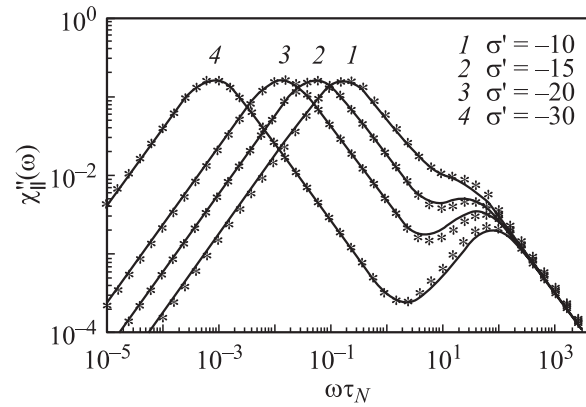


Рис. 4. То же, что на рис. 3, для различных значений σ' ($\sigma' < 0$). Звездочки — расчет по формулам (20), (29) и (31).

для положительной константы анизотропии и

$$\Delta_1 \approx 1 - 3/(8|\sigma'|), \quad \tau_W \approx 3\tau_N / (8|\sigma'|) \quad (31)$$

для отрицательной константы анизотропии.

В случае кубической анизотропии сопоставление расчетов спектров $\chi''(\omega)$ по приближенным и точным формулам при различных значениях σ' представлено на рис. 3 и 4, из которых видно, что приближенное выражение (20) хорошо описывает спектры $\chi''(\omega)$ как в случае положительной, так и в случае отрицательной константы анизотропии. В соответствии с (20) каждая полоса (низкочастотная и высокочастотная) эффективно аппроксимируется одной релаксационной модой. Как показали расчеты, приближенная формула (20) работает достаточно хорошо даже в случае малых значений параметра σ' ($1 \leq |\sigma'| \leq 3$).

Таким образом, разработан простой метод расчета продольной магнитной восприимчивости $\chi_{||}(\omega)$ систем суперпарамагнитных частиц с одноосной и кубической анизотропией в случае умеренного и сильного затухания. Показано, что учет трех временных констант, харак-

теризующих магнитную релаксацию, а именно времени корреляции τ , эффективного времени релаксации τ^{eff} и обратной величины наименьшего собственного значения оператора Фоккера–Планка λ_1 , достаточен для предсказания спектра $\chi_{\parallel}(\omega)$ в широком частотном диапазоне. Кроме того, как показали расчеты, формула (20) может быть использована и для частиц с другими типами анизотропии (например, кубические кристаллы в сильном постоянном магнитном поле). Эти результаты предполагается опубликовать в другом месте.

Благодарим В.Т. Коффи (Тринити Колледж, Дублин) за полезные замечания.

Список литературы

- [1] L. Néel. *Ann. Geophys.* **5**, 99 (1949).
- [2] W.F. Brown, Jr. *Phys. Rev.* **130**, 1677 (1963).
- [3] C.P. Bean, J.D. Livingston. *Suppl. J. Appl. Phys.* **30**, 1205 (1959).
- [4] L.D. Landau, E.M. Lifchitz. *Phys. Z. Sowjetunion* **8**, 153 (1935).
- [5] T.L. Gilbert. *Phys. Rev.* **100**, 1243 (1956).
- [6] W.F. Brown, Jr. *IEEE Trans. Mag.* **15**, 1196 (1979).
- [7] Yu.L. Raikher, M.I. Shliomis. *Adv. Chem. Phys.* **87**, 595 (1994).
- [8] I. Klik, L. Gunther. *J. Stat. Phys.* **60**, 473 (1990).
- [9] L.J. Geoghegan, W.T. Coffey, B. Mulligan. *Adv. Chem. Phys.* **100**, 475 (1997).
- [10] Yu.P. Kalmykov, S.V. Titov. *Phys. Rev. Lett.* **82**, 14, 2967 (1999).
- [11] Ю.П. Калмыков, С.В. Титов. *ФТТ* **41**, 11, 2020 (1999).
- [12] A. Aharoni. *Phys. Rev.* **177**, 2, 763 (1969).
- [13] Д.А. Гаранин, В.В. Ищенко, Л.В. Панина. *ТМФ* **82**, 242 (1990).
- [14] D.A. Garanin. *Phys. Rev.* **E54**, 4, 3250 (1996).
- [15] W.T. Coffey, D.S.F. Crothers, Yu.P. Kalmykov, J.T. Waldron. *Phys. Rev. B* **51**, 22, 15947 (1995).
- [16] Э.К. Садыков, А.Г. Исавнин. *ФТТ* **38**, 2104 (1996).
- [17] Yu.L. Raikher, V.I. Stepanov. *Phys. Rev. B* **55**, 22, 15005 (1997).
- [18] Yu.L. Raikher, V.I. Stepanov, A.N. Grigirenko, P.I. Nikitin. *Phys. Rev. B* **56**, 11, 6400 (1997).
- [19] I. Klik, Y.D. Yao. *J. Magn. Magn. Mater.* **182**, 335 (1998).
- [20] J.L. Garcia-Palacios. *Adv. Chem. Phys.* **112**, 1 (2000).
- [21] Ю.П. Калмыков, С.В. Титов. *ФТТ* **40**, 9, 1642 (1998).
- [22] Ю.П. Калмыков, С.В. Титов. *ФТТ* **42**, 2020 (2000).
- [23] A. Aharoni. *Phys. Rev. B* **7**, 3, 1103 (1973).
- [24] D.A. Smith, F.A. de Rosario. *J. Magn. Magn. Mater.* **3**, 219 (1976).
- [25] I. Eisenshtein, A. Aharoni. *Phys. Rev. B* **16**, 3, 1278 (1977).
- [26] I. Eisenshtein, A. Aharoni. *Phys. Rev. B* **16**, 3, 1285 (1977).
- [27] I. Klik, L. Gunther. *J. Appl. Phys.* **67**, 4505 (1990).
- [28] Ю.П. Калмыков, С.В. Титов. *ФТТ* **40**, 10, 1898 (1998).
- [29] Yu.P. Kalmykov, S.V. Titov, W.T. Coffey. *Phys. Rev. B* **58**, 6, 3267 (1998).
- [30] Ю.П. Калмыков, С.В. Титов. *ЖЭТФ* **115**, 101 (1999).
- [31] Yu.P. Kalmykov. *Phys. Rev. B* **61**, 9, 6205 (2000).
- [32] D. Forster. *Hydrodynamic Fluctuations, Broken Symmetry, and Correlation Functions*. Benjamin, Reading, MA (1975).
- [33] W.T. Coffey, P.J. Cregg, Yu.P. Kalmykov. *Adv. Chem. Phys.* **83**, 263 (1993).
- [34] Yu.P. Kalmykov, J.L. Déjardin, W.T. Coffey. *Phys. Rev.* **E55**, 3, 2509 (1997).
- [35] J.L. Déjardin, Yu.P. Kalmykov. *J. Chem. Phys.* **111**, 3644 (1999).